

كلية العلوم

القسم : المهنرياء

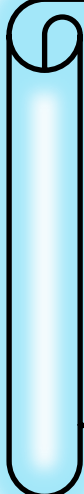
السنة : الرابعة



٩

المادة : انصاف نوافل

المحاضرة : السادسة/نظري/



{{{ A to Z مكتبة }}}}

Maktabat A to Z Facebook Group

كلية العلوم ، كلية الصيدلة ، الهندسة التقنية



يمكنكم طلب المحاضرات برسالة نصية (SMS) أو عبر (What's app-Telegram) على الرقم 0931497960

### استنتاج علاقة معامل T-emf استناداً إلى معادلة بولتزمان الحركية:

#### Obtaining T-emf Coefficient by Kinetic Boltzmann Equation

تطرقنا في الفقرة **السابقة** (18) إلى أحد أشكال معادلة بولتزمان (**المعادلة** (18-12))،

$f = f_0 + \frac{eE\tau}{m_n} \frac{\partial f_0}{\partial v_x}$  . وهناك خيار آخر لكتابة معادلة بولتزمان من أجل الحالة المستقرة يمكن التعبير عنها بالشكل الآتي:

$$(\vec{v}_n \cdot \vec{\nabla}_r f) + \frac{1}{\hbar} (\vec{F} \cdot \vec{\nabla}_k f) = -\frac{f_1}{\tau}, \quad (20-19)$$

حيث  $\vec{v}_n$  سرعة الإلكترون،

و  $\vec{F}$  القوة المؤثرة فيه،

و  $\vec{\nabla}_r$  مؤثر التدرج في فضاء الإحداثيات،

و  $\vec{\nabla}_k$  مؤثر التدرج في الفضاء  $-k$ .

يجدر بالذكر أيضاً أن:

$$\overrightarrow{\text{grad}}_r = \vec{\nabla}_r = \frac{\partial}{\partial x} \hat{i} + \frac{\partial}{\partial y} \hat{j} + \frac{\partial}{\partial z} \hat{k};$$

$$\overrightarrow{\text{grad}}_k = \vec{\nabla}_k = \frac{\partial}{\partial k_x} \hat{i} + \frac{\partial}{\partial k_y} \hat{j} + \frac{\partial}{\partial k_z} \hat{k},$$

حيث  $\hat{i}$  و  $\hat{j}$  و  $\hat{k}$  متجهات الوحدة الموجّهة وفق المحاور الإحداثية.

إن الضرب السُّلمي الوارد في المعادلة يمكن دراسته وفق الآتي:

$$\begin{aligned} (\vec{v}_n \cdot \vec{\nabla}_r f) &= v_{nx} \frac{\partial f}{\partial x} + v_{ny} \frac{\partial f}{\partial y} + v_{nz} \frac{\partial f}{\partial z}; \\ \frac{1}{\hbar} (\vec{F} \cdot \vec{\nabla}_k f) &= \left( \frac{d\vec{k}}{dt} \cdot \vec{\nabla}_k f \right) = \frac{\partial k_x}{\partial t} \cdot \frac{\partial f}{\partial k_x} + \frac{\partial k_y}{\partial t} \cdot \frac{\partial f}{\partial k_y} + \frac{\partial k_z}{\partial t} \cdot \frac{\partial f}{\partial k_z}. \end{aligned}$$

ومن أجل قيمة صغيرة للانحراف،  $f_1 = f - f_0$  ، يمكن استبدالتابع التوزع  $f$  في الطرف الأيسر من المعادلة

20-19) بتابع التوزع  $f_0$  ، وعندما يكون لدينا المساواة:

$$(\vec{v}_n \cdot \vec{\nabla}_r f_0) + \frac{1}{\hbar} (\vec{F} \cdot \vec{\nabla}_k f_0) = -\frac{f_1}{\tau}, \quad (21-19)$$

والقوة  $\vec{F}$  في الحالة الراهنة تساوي:

$$\vec{F} = -e \vec{E} = e \vec{\nabla}_r \varphi, \quad (22-19)$$

حيث  $\vec{E}$  شدة الحقل الكهربائي للشحنات الحجمية و  $\varphi$  الكمون الكهراكتي الموافق له.

ثم إن تابع التوزع  $f_0$  من أجل غاز إلكتروني غير متحل يساوي:

$$f_0 = e^{-\frac{E-E_F}{k_B T}} \equiv f_0(E, E_F, T). \quad (23-19)$$

والطاقة الكلية للإلكترون تساوي:

$$E = \frac{\hbar^2 k^2}{2m^*}, \quad (24-19)$$

حيث افترضنا أن الكتلة الفعالة،  $m^*$ ، سلمية بغض تبسيط الدراسة، أي أننا نتعامل مع سطح تساوي طاقة كروي الشكل.

يمكن التعبير عن سرعة الإلكترون بالعلاقة الآتية:

$$\vec{v}_n = \frac{1}{\hbar} \vec{\nabla}_k E(\vec{k}) = \frac{1}{\hbar} \vec{\nabla}_k \left( \frac{\hbar^2 k^2}{2m^*} \right) = \frac{\hbar}{m^*} \vec{k}. \quad (25-19)$$

و عند تقاضل  $f_0$  في فضاء الإحداثيات يجب أن نأخذ بالحسبان أنه في الحالة الراهنة:

$$T = T(x, y, z); \quad E_F = E_F(x, y, z).$$

و عندها، نحصل على المساواة الآتية مع الأخذ بالحسبان أن (المعادلة 23-19):

$$\vec{\nabla}_r f_0 = \frac{\partial f_0}{\partial T} \vec{\nabla}_r T + \frac{\partial f_0}{\partial E_F} \vec{\nabla}_r E_F = \frac{\partial f_0}{\partial E} \left( \frac{E_F - E}{T} \vec{\nabla}_r T - \vec{\nabla}_r E_F \right); \quad (26-19)$$

$$\vec{\nabla}_k f_0 = \frac{\partial f_0}{\partial E} \vec{\nabla}_k E = \hbar \frac{\partial f_0}{\partial E} \vec{v}_n. \quad (27-19)$$

(راجع المعادلة 25-19).

وبالتعويض عن العلاقاتين (26-19) و (27-19) في المعادلة (21-19) نستطيع تعريف  $f_1$  بالمعادلة:

$$f_1 = -\tau(\vec{k}) \frac{\partial f_0}{\partial E} \left[ \frac{E_F - E}{T} \vec{\nabla}_r T - \vec{\nabla}_r (E_F - e\varphi) \right] \vec{v}_n. \quad (28-19)$$

يوجد في عنصر الحجم (في الفضاء  $\vec{k}$ ) و وحدة حجم البلورة المدروسة  $2 \frac{dV_{\vec{k}}}{8\pi^3}$  حالة كمومية يتتوفر فيها

$$dn = \frac{dV_{\vec{k}}}{4\pi^3} f(\vec{r}, \vec{k})$$

حاملاً للشحنة الكهربائية (في الحالة الراهنة  $dN_{\text{إلكترون}}$ ) سرعة كل منها

$$\vec{v}_n = \frac{1}{\hbar} \frac{dE}{dk} = \frac{1}{\hbar} \vec{\nabla}_k E = \frac{\hbar \vec{k}}{m^*}.$$

وتكون هذه الإلكترونات عنصر كثافة التيار الإلكتروني :

$$d\vec{j}_n = -e \vec{v}_n dn = -e \vec{v}_n \frac{dV_{\vec{k}}}{4\pi^3} f(\vec{r}, \vec{k})$$

حيث  $e > 0$ .

ومن ثم:

$$\begin{aligned}\vec{j}_n &= -\frac{e}{4\pi^3} \int_{V_{\vec{k}}} \vec{v}_n f(\vec{r}, \vec{k}) dV_{\vec{k}} \\ &= -\frac{e}{4\pi^3} \int_{V_{\vec{k}}} \vec{v}_n [f_0(\vec{r}, \vec{k}) + f_1(\vec{r}, \vec{k})] dV_{\vec{k}} \\ &= -\frac{e}{4\pi^3} \int_{V_{\vec{k}}} \vec{v}_n f_0(\vec{r}, \vec{k}) dV_{\vec{k}} - \frac{e}{4\pi^3} \int_{V_{\vec{k}}} \vec{v}_n f_1(\vec{r}, \vec{k}) dV_{\vec{k}}.\end{aligned}$$

- إن التابع  $f_0(\vec{r}, \vec{k})$  زوجي والتابع  $f_1(\vec{r}, \vec{k})$  فردي،
- ومن ثم تكامل حاصل الضرب الأخير في حدود التناظر يساوي الصفر.
- وفيزياً، هذا يعني عدم وجود تيار في المادة الواقعه في حالة التوازن термодинамيك.
- بهذا الشكل، يمكن التعبير عن كثافة تيار الإلكترونات بالشكل الآتي:

$$\vec{j}_n = -\frac{e}{4\pi^3} \int_0^\infty \frac{\hbar \vec{k}}{m^*} \left\{ -\frac{m^* l}{\hbar \vec{k}} \frac{\partial f_0}{\partial E} \left[ \frac{E_F}{T} \vec{\nabla}_r T - \frac{E}{T} \vec{\nabla}_r T - \vec{\nabla}_r (E_F - e\varphi) \right] \right\} \frac{\hbar \vec{k}}{m^*} d\left(\frac{4}{3} \pi \vec{k}^3\right),$$

حيث

$$\tau(\vec{k}) = \frac{l}{\vec{v}_n} = \frac{m^* l}{\hbar \vec{k}}. \quad (29-19)$$

(طول المسار الحر الوسطي للإلكترون).

على اعتبار أن الحاملات تتبع على الاهتزازات الصوتية للشبكة البلورية وطول المسار الحر الوسطي للإلكترون مستقل عن الطاقة ( $r = 0$ ).

إذن، **المركبة الإلكترونية لكتافة التيار تساوي**:

$$\vec{j}_n = \frac{e \hbar l}{3\pi^2 m^*} \left[ \frac{E_F}{T} \vec{\nabla} T - \vec{\nabla} (E_F - e\varphi) \right] \int_0^\infty \frac{\partial f_0}{\partial E} k^3 dk - \frac{e \hbar l}{3\pi^2 m^*} \frac{\vec{\nabla} T}{T} \int_0^\infty \frac{\partial f_0}{\partial E} E k^3 dk; \quad (30-19)$$

حيث  $\vec{\nabla} \equiv \vec{\nabla}_r$ .

نوجد بعد ذلك **المركبة الثقبية** لكتافة التيار الكلي مساوياً الصفر، لأن إيجاد T-emf يعين؛ كفرق كمون من أجل دارة مفتوحة.

**القوة المحركة الكهارحرارية T-emf التفاضلية** تساوي:

$$\alpha = \frac{|\vec{\nabla}(\varphi - E_F / e)|}{|\vec{\nabla} T|}. \quad (31-19)$$

وعند تبعثر الإلكترونات على الاهتزازات الصوتية الطولانية للشبكة البلورية يمكن التعبير عن حركتها (التي نحصل عليها من المعادلة (66-18)) حيث  $\tau_0$  ثابت من أجل البلورة المدروسة هنا) بالشكل الآتي:

$$\mu_{TV} = \frac{4e\tau_0}{3\sqrt{\pi k_B} (m^*)^{5/2} T^{3/2}} = b T^{-3/2}. \quad (66-18)$$

وبدالة طول المسار الحر الوسطي بالعلاقة الآتية:

$$\mu_{TV} = \frac{4el}{3\sqrt{2\pi m^* k_B T}}. \quad (32-18)$$

وباستخدام علاقات الكميات  $N_c$  ، و  $N_v$  ، و  $p_0$  ومقادير أخرى نحصل في نهاية المطاف على العلاقة

الآتية (راجع العلاقتين (19-17) و (18-19)) :

$$\alpha = \frac{k_B}{e} \frac{\mu_p p_0 [2 + \ln(N_c / n_0)] - \mu_n n_0 [2 + \ln(N_v / p_0)]}{\mu_p p_0 + \mu_n n_0}, \quad (33-18)$$

أي نحصل على العلاقة (19a-19) عند وضع المساواة  $r = 0$  فيها.

ومن أجل نصف ناقل ذاتي، آخذين بالحساب  $N_c = N_v$  ، نجد

$$\alpha_i = -\frac{k_B}{e} \frac{(\mu_n / \mu_p) - 1}{(\mu_n / \mu_p) + 1} \left( 2 + \frac{\Delta E_0}{k_B T} \right). \quad (34-19)$$

وبهذا الشكل، نجد أن  $\alpha_i$  تحدّد في نصف ناقل ذاتي بنسبة حرکية الإلكترونات إلى حرکية التقوب، وبعرض المنطقة المحظورة،  $\Delta E_0$  ، ودرجة الحرارة  $T$ .

يلاحظ لدى استنتاج العلاقتين (19-33) و (19-34) أنه لم يؤخذ بالحساب "التهاء" حاملات الشحنة بالفونونات:

- فعند توفر تدرج حراري في نصف ناقل تلاحظ حركة موجّهة للفونونات، تبدأ من المجالات الحارة نحو المجالات الباردة في نصف الناقل.
- وعند كل تصادم إلكترون مع فونون متراافق بفناء الفونون ينتقل اندفاعه إلى الإلكترون.
- وطالما تعدد الفونونات ذات الاندفاع الموجّه من المجالات الحارة نحو المجالات الباردة **أكثر** من تعداد الفونونات ذات الاندفاع الموجّه في الاتجاه المعاكس، فإن جزءاً من الاندفاع ينتقل إلى الإلكترونات.
- وبنتيجة التصادمات المشار إليها يُرصد انسياق إضافي يكزن قوة حركة كهربائية إضافية، ولكن مفعول الازدياد يلاحظ في درجات الحرارة المنخفضة فقط، لأنّه عند رفع درجة الحرارة يستعيد تبعثر الفونونات على الفونونات التوزّع المتوازن لها بسرعة، فيتلاشى بذلك مفعول الزيادة المذكور أعلاه.

**Hall Effect - مفعول هول**

لقد تمت في الفترات السابقة دراسة الناقلة الكهربائية تحت تأثير حقل كهربائي وعند توفر تدرج لتركيز حاملات الشحنة أيضاً. ننتقل الآن إلى دراسة إحدى الظواهر الغلفانية المغناطيسية<sup>1</sup> *Galvanomagnetic Phenomena* - مفعول هول الذي يُرصد في الفلزات وأنصاف النوافل ويُستخدم في التطبيقات العملية على نطاق واسع؛ وعلى وجه الخصوص، لقد انتشرت كثيراً محسّات هول نصف الناقلة *Semiconductor Hall Sensors* التي تُسْتعمل في قياس شدة الحقل المغناطيسي (التحريضية).

تسمى الظواهر الحركية التي تنشأ لدى تطبيق حقل كهربائي وآخر مغناطيسي بـ **بالظواهر الغلفانية المغناطيسية**. ويمكن مفعول هول، على وجه الخصوص، في **نشوء قوة محرّكة كهربائية** في اتجاه **عمودي** على اتجاه حركة التيار الكهربائية عند وضع العينة المدروسة في حقل مغناطيسي عرضاني.

**النظرية الأولية لمفعول هول من أجل حاملات شحنة من نوع واحد:**

لندرس عينة نصف ناقلة لها شكل متوازي مستطيلات، كما يوضح الشكل (1a-20): لنفرض أن تياراً كهربائياً يجري في العينة نصف الناقلة من جهة اليسار نحو اليمين. فإذا تشَكَّل التيار بالثقوب، فإن سرعة انسياقها  $\bar{v}_d$  تأخذ اتجاههاً موافقاً لاتجاه التيار  $\bar{I}$ ، كما في الشكل (1b-20); أمّا إذا تشَكَّل التيار بالإلكترونات فتتجه السرعة  $\bar{v}_d$  في الاتجاه المعاكس لاتجاه  $\bar{I}$ ، كما في الشكل (1c-20).

لنضع نصف الناقل في حقل مغناطيسي خارجي،  $\bar{B}$ ، بحيث تتجه التحريضية في اتجاه عمودي على اتجاه التيار (نحو القارئ). في هذه الحالة تساوي قوة لورانتس:

$$\vec{F}_l = e \bar{v}_d \times \bar{B}. \quad (2-20)$$

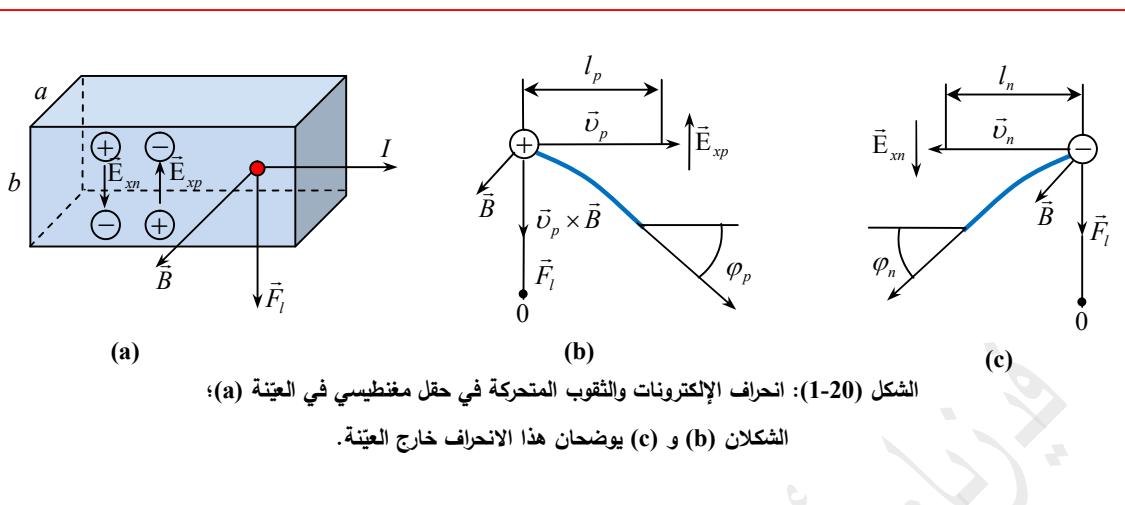
- فمن أجل الثقوب سيتجه الضرب المنتج  $(\bar{v}_d \times \bar{B})$  وقوة لورانتس،  $\vec{F}_l$ ، في هذه الحالة، **نحو الأسفل**؛
- ومن أجل الإلكترونات يتوجه **الضرب المنتج**  $(\bar{v}_d \times \bar{B})$  **نحو الأعلى** وقوة لورانتس  $\vec{F}_l$  **نحو الأسفل**.

$$(e < 0).$$

ومن ثم، ستتحرف الإلكترونات والثقوب تحت تأثير الحقل المغناطيسي نحو الوجه السفلي لمتوازي المستطيلات، وعندما سيفتقرب الوجه العلوي للثقوب في الحالة الأولى، وللإلكترونات في الحالة الثانية.

- وبهذا الشكل، سينشحن الوجه السفلي لنصف الناقل من النوع-p إيجابياً والعلوي سلبياً، فينشأ حقل هول، بحيث يكون متوجهاً من الأسفل نحو الأعلى.
- أمّا في نصف الناقل من النوع-n، فينشحن الوجه السفلي (عندما يكون التيار بنفس الاتجاه السابق) سلبياً والعلوي إيجابياً، فينشأ حقل هول متوجهاً من الأعلى نحو الأسفل.

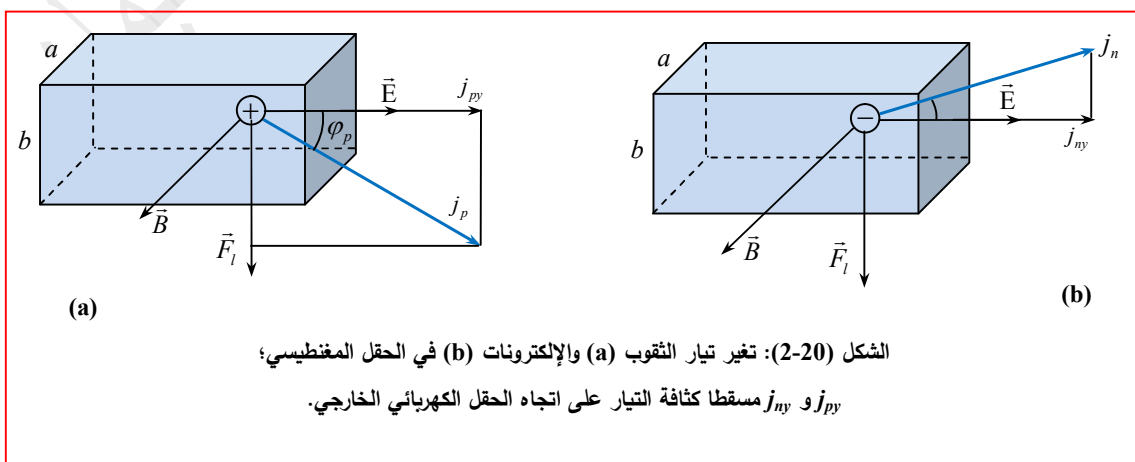
<sup>1</sup> ظاهرة كهربائية تحدث عندما يوضع ناقل أو نصف ناقل يجري فيه تيار في حقل مغناطيسي.



الشكل (20-1): انحراف الإلكترونات والثقوب المتحركة في حقل مغناطيسي في العينة (a)؛  
الشكلان (b) و (c) يوضحان هذا الانحراف خارج العينة.

يوضح **الشكل** (20-1) وضعية ثقب وإلكترون انحرافا تحت تأثير حقل مغناطيسي عند انتقالهما الانسيادي على امتداد طول المسار الحر الوسطي  $l_n$  و  $l_p$ ، حيث يفترض عدم وجود حقل هول بعد.

- تسمى الزاويتان  $\varphi_p$  و  $\varphi_n$  زاويتي هول.
- عند تمثيل متجهتي كثافة التيار الثقوب وتيار الإلكترونات،  $\bar{j}_n$  و  $\bar{j}_p$ ، نجد عند الأخذ بالحساب اتجاه دوران كل منهما،  $\varphi_p$  و  $\varphi_n$ ، أن كثافتي التيارين،  $\bar{j}_n$  و  $\bar{j}_p$ ، تدوران باتجاهين متعاكسين، كما يوضح **الشكلان** (20-2a) و (20-2b). ويفترض هنا، إما عدم وجود تأثير حقل هول بعد، وإنما وجود عينة نصف ناقلة غير محدودة في الاتجاه  $b$  (كأن نصم العينة الأخيرة على هيئة قرص).
- وفي الشروط العادية، ومن أجل نصف ناقل محدود، **ترامك الشحنات المنحرفة** تحت تأثير الحقل المغناطيسي على الوجهين المتقابلين لهذه العينة المحدودة ويستمر هذا التراكم طالما حقل هول قيد التشکل لم يتعطل قوة لورانتس بعد ويحدث التوازن بينهما.
- وبعد بلوغ **التوازن الديناميكي** هذا، يمكن أن نعتبر أن كثافة التيار  $\bar{j}_n$  أو  $\bar{j}_p$  عند وجود **نوع واحد** من حاملات الشحنة لا تتحرف بالحقل المغناطيسي.



الشكل (20-2): تغير تيار الثقوب (a) والإلكترونات (b) في الحقل المغناطيسي؛  
و  $j_{py}$  و  $j_{ny}$  مسقطاً كثافة التيار على اتجاه الحقل الكهربائي الخارجي.

▪ ومن ثم عند التواجد المديد لنصف الناقل الذي يمر فيه التيار في حقل مغناطيسي عرضاني يتربّع

### فرق كمون عرضاني معين يسمى القوة المحرّكة الكهربائية لهول Hall Electromotive Force

(كمون هول الكهربائي) عند وضع عينة نصف ناقلة في دارة مغلقة.

وتعُد شدة الحقل الكلية،  $\vec{E}_t$ ، مجموعاً متوجهاً مساوياً  $\vec{E}_x + \vec{E}_{xp}$  وتصنّع مع الحقل  $\vec{B}$  زاوية هول،  $\varphi$ ، كما يوضّح **الشكل (3-20)**.

وهكذا نجد أنه في حالة وجود نوع واحد من حاملات الشحنة، فإن **الشرط** الذي يحدّد حقل هول يكمن في

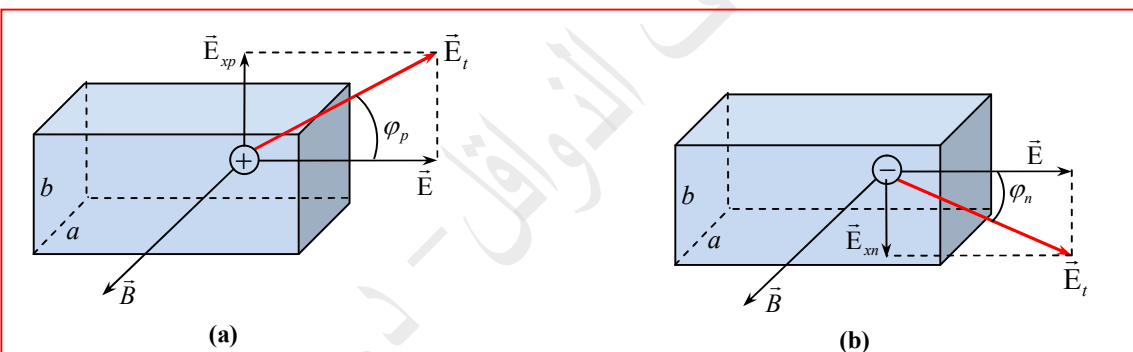
مساواة **القيم المطلقة** لقوة لورانس وقوة حقل هول المتشكلة:

$$F_t = e E_x \quad (2-20)$$

أو

$$e v_d B = e E_x \quad (3-20)$$

ولكن هذا الشرط يكون محققاً فقط من أجل قيمة ما لسرعة الانسياق  $v_d$ ، وهذا يعني أنه إذا امتلك الطرف الأيمن



الشكل (3-20): زاوية هول في نصف الناقل الثقب (a) ونصف الناقل الإلكتروني (b).

للمساواة (3-20) قيمة محدودة، فإن طرفيها الأيسر يمتلك أيضاً **قيمة واحدة للسرعة**. وهذه الحالة غاية في

الأهمية، لارتباط ظواهر غلفانية مغناطيسية أخرى بها. يقصد بالسرعة  $v_d$ ، في العلاقة (3-20)، **السرعة الوسطية لانسياق حاملات الشحنة**، لأن معظم هذه الحاملات ينتقل بسرعة قريبةٍ من السرعة الوسطية.

بضرب طرفي العلاقة (3-20) بتركيز الإلكترونات،  $n$ ، نحصل على المساواة الآتية من أجل نصف ناقل من النوع:

$$ne \bar{v}_d B = e E_x n \quad (4-20)$$

ولكن، طالما أن  $\bar{v}_d$  تمثّل سرعة الانسياق الوسطية للإلكترونات، فإن حاصل الضرب  $ne \bar{v}_d$ ، وتبعاً لقانون أوم،

يساوي كثافة التيار  $j_n$  :

$$ne \bar{v}_d = \frac{I_n}{ab} = j_n, \quad (5-20)$$

حيث  $a$  و  $b$  بُعدان خطيان للعينة المدروسة في الشكل (1-20).

وبهذا الشكل نحصل من المعادلين (3-20) و (5-20) على المساواة الآتية:

$$E_{nx} = \bar{v}_d B = \frac{1}{en} \frac{I_n}{ab} B = \frac{1}{en} j_n B , \quad (6-20)$$

والمقدار  $E_{nx} B$  ليس سوى فرق الكمون العرضاني الذي يرمز له بالرمز  $V_{nx}$  ويسمى بكمون هول الكهربائي:

$$V_{nx} = \frac{1}{en} \frac{I_n B}{a} = \frac{1}{en} j_n B b . \quad (7-20)$$

وإذا أخذنا بالحساب توزع حاملات الشحنة على السُّرع في أنصاف النوافل الامتحلة، نحصل بدلاً من المساواة (7-20) على العلاقة:

$$V_{nx} = \frac{A}{en} \frac{I_n B}{a} = \frac{A}{en} j_n B b , \quad (8-20)$$

حيث  $A$  مقدار، يسمى عامل هول *Hall Factor*، فضلاً عن أن قيمته تساوي عند تبعثر الإلكترونات على الاهتزازات الصوتية للشبكة البلورية (الفونونات الصوتية)  $A = \frac{3\pi}{8} = 1.18$  من أجل شبكات  $\text{Si}$ ،  $\text{Ge}$ ، و

$\text{InAs}$ ، وغيرها في درجات الحرارة المرتفعة نسبياً، بما فيها درجة حرارة الغرفة.

و عند تبعثر الإلكترونات على أيونات الذرة الشائبة، يساوي عامل هول،  $A = 1.93$  :

وإذا أخذنا بالحساب أن شحنة الإلكترونات سالبة، فيمكننا إعادة كتابة العلاقة (8-20) بالشكل الآتي:

$$V_{nx} = -\frac{A}{en} \frac{I_n B}{a} = R_{xn} \frac{I_n B}{a} , \quad (9-20)$$

حيث  $0 < e$  و  $R_{xn}$  معامل هول *Hall Coefficient*

$$R_{xn} = -\frac{A}{en} . \quad (10-20)$$

ومن أجل نصف ناقل من النوع- $p$  يتم الحصول على جميع العلاقات الموافقة بإتباع الطريقة المذكورة أعلاه من

أجل الثقوب، بما فيها علاقة  $R_{xp}$ :

$$R_{xp} = \frac{A}{ep} . \quad (11-20)$$

حيث  $p$  تركيز الثقوب.

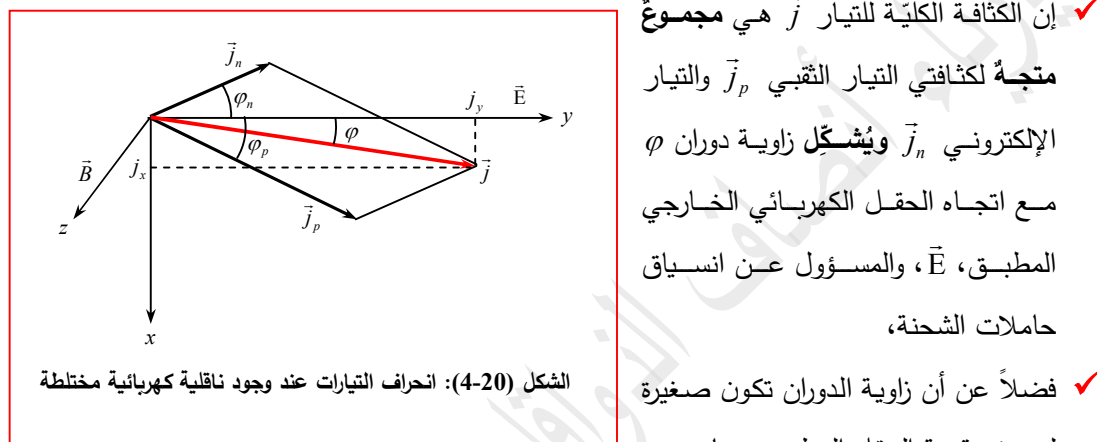
استنتاج معامل هول من أجل نصف ناقل ناقليته الكهربائية مختلطة:

### Obtaining Hall Coefficient for a Semiconductor with Mixed Conductivity

لندرس نصف ناقل ناقليته مختلطة حيث لا يمكن أن تُهمَل فيه لا الإلكترونات ولا الثقوب.

أضف إلى ذلك، تتحرف فيه كثافتاً تيار التقوب  $\vec{j}_p$  وتيار الإلكترونات  $\vec{j}_n$ ، كما ذكرنا سابقاً، في اتجاهين متعاكسيْن. ولذلك، لا بد من تمثيل المخطط الشعاعي (مخطط المتجهات) للتياز من أجل نصف الناقل ذي الناقليّة الكهربائيّة المختلطة.

✓ يوضح **الشكل** (4-20) هذا المخطط على فرض أن حقل هول الكهربائي لم يبدأ بالتأثير بعد.



$$\vec{j} = \vec{j}_n + \vec{j}_p \quad (10-20)$$

ختار المحاور الإحداثية بحيث يتجه المحور  $x$  باتجاه حقل هول الكهربائي أو باتجاه معاكس له، والمحور  $y$  في اتجاه الحقل الخارجي  $\vec{E}$ ، والمحور  $z$  في اتجاه الحقل المغنتيسى  $\vec{B}$ .

وعندما يكون لدينا علاقة ظل زاوية (صغيرة)  $\varphi$  من الشكل الآتي:

$$\tan \varphi = \frac{j_x}{j_y} \approx \varphi, \quad (13-20)$$

حيث  $j_x$  و  $j_y$  مسقطاً متوجه التيار الكلي على المحورين  $x$  و  $y$  على الترتيب (أي نتعامل مع القيم المطلقة لجميع الكميات).

وتبعاً للشكل (4-20) يمكننا كتابة علاقة مركبة كثافة التيار  $j_y$  الآتية:

$$j_y = j_p \cos \varphi_p + j_n \cos \varphi_n = e(p\mu_p + n\mu_n)E \equiv \sigma E, \quad (14-20)$$

حيث أن  $\cos \varphi_p = \cos \varphi_n = 1$  على اعتبار أن الزاويتين  $\varphi_p$  و  $\varphi_n$  صغيرتان، لكونهما درسان في حالة الحقول المغنتيسية الضعيفة  $\vec{B}$ .

ومركبة كثافة التيار  $j_x$  تكتب تبعاً للشكل (4-20) وفق المعادلة الآتية:

$$j_x = j_p \sin \varphi_p + j_n \sin \varphi_n = j_p \varphi_p + j_n \varphi_n , \quad (15-20)$$

حيث أن  $\varphi_p = \sin \varphi_p$  و  $\varphi_n = \sin \varphi_n$  ، وذلك بحكم صغر الزاويتين  $\varphi_p$  و  $\varphi_n$  . يمكن التعبير عن هاتين الزاويتين من المخططين المتجهيين الموضعين في الشكل (3-20). إذ يوافق هذا الرسم حالة التوازن الديناميكي وبلغ حقل هول قيمة مستقرة. إذن، لدينا:

$$\tan \varphi_p = \frac{E_{xp}}{E} = \frac{E_{xp}}{j_p / ep\mu_p} \cong \varphi_p ; \quad (16-20)$$

$$\tan \varphi_n = \frac{E_{xn}}{E} = \frac{E_{xn}}{j_n / en\mu_n} \cong \varphi_n . \quad (17-20)$$

كما يمكن الاستدادة من المعادلة (14-20) والتعبير عن الحقل E وفق الآتي:

$$E = \frac{j_n}{\sigma_n} = \frac{j_n}{en\mu_p} ; \quad (18-20)$$

$$E = \frac{j_p}{\sigma_p} = \frac{j_p}{ep\mu_p} . \quad (19-20)$$

وتبعاً للعلاقة (9-20) ومفعول هول من أجل نصف الناقل المدروس نستطيع كتابة العلاقتين:

$$E_{xp} = \frac{A}{ep} \frac{I_p B}{ab} = \frac{A}{ep} j_p B ; \quad (20-20)$$

$$E_{xn} = -\frac{A}{en} \frac{I_n B}{ab} = -\frac{A}{en} j_n B . \quad (21-20)$$

وبالتعويض عن المعادلات (21-20)-(18-20) في جملة المعادلتين (16-20) و (17-20) نجد أن:

$$\varphi_p = \frac{E_{xp}}{E} = \frac{A}{ep} \frac{j_p B}{\frac{j_p}{ep\mu_p}} = A\mu_p B ; \quad (22-20)$$

$$\varphi_n = \frac{E_{xn}}{E} = -\frac{A}{en} \frac{j_n B}{\frac{j_n}{en\mu_n}} = -A\mu_n B . \quad (23-20)$$

ولإيجاد زاوية الدوران الإجمالية،  $\varphi$ ، نعرض عن العلاقتين (22) و (23) في العلاقتين (14-20) و (15) على الترتيب، حيث نجد أن:

$$j_x = j_p (A\mu_p B) + j_n (-A\mu_n B) = ep\mu_p E (A\mu_p B) + en\mu_n E (-A\mu_n B)$$

ومن ثم

$$j_x = eA (p\mu_p^2 - n\mu_n^2) E B , \quad (24-20)$$

ومن ثم نعرض العلاقتين (14-20) و (24) في علاقة دوران  $\varphi$  ، أي في المعادلة (13-20)، فنجد:

$$\varphi = \frac{j_x}{j_y} = \frac{eA (p\mu_p^2 - n\mu_n^2) E B}{e (p\mu_p + n\mu_n) E} = A \frac{p\mu_p^2 - n\mu_n^2}{p\mu_p + n\mu_n} B . \quad (25-20)$$

ومن جهة أخرى، يمكننا استناداً للعلاقة (20-22) كتابة المساواة الآتية:

$$\varphi_p = R_{xp} \sigma_p B . \quad (26-20)$$

وبشكل مشابه يمكننا كتابة علاقة من أجل زاوية الدوران  $\varphi$ :

$$\varphi = R_x \sigma B \equiv R_x e(p\mu_p + n\mu_n) B .$$

ومن ثم

$$\varphi = R_x \sigma B , \quad (27-20)$$

وبمقارنة العلاقات (20-25) و (20-27) مع بعضهما البعض نجد أن:

$$R_x = \frac{A}{e(p\mu_p + n\mu_n)} \frac{p\mu_p^2 - n\mu_n^2}{(p\mu_p + n\mu_n)^2} .$$

ومن ثم

$$R_x = \frac{A}{e} \frac{p\mu_p^2 - n\mu_n^2}{(p\mu_p + n\mu_n)^2} . \quad (28-20)$$

بهذه الطريقة، تكون حصلنا على علاقة عامة من أجل معامل هول. ويتم الحصول على العلاقات (20-10) و

(20-11) من العلاقة الأخيرة (28-20); حالة خاصة، وذلك إذا وضعنا  $n = 0$  أو  $p = 0$ .

ومن أجل نصف ناقل ذاتي  $n_i = p = n_i$  حيث تتحقق الناقليات الذاتية، نجد من العلاقة ما (20-28) يأتي:

$$R_{xi} = \frac{A}{e} \frac{p}{p^2} \frac{(\mu_p - \mu_n)(\mu_p + \mu_n)}{(\mu_p + \mu_n)^2} ,$$

ومن ثم

$$R_{xi} = \frac{A}{en_i} \frac{\mu_p - \mu_n}{\mu_p + \mu_n} . \quad (29-20)$$

وطالما، في معظم الأحيان  $\mu_n < \mu_p$  ، فإن معامل هول الذاتي يُعد كمية سالبة دوماً.

يتضح من العلاقات (20-22) و (20-23) أن زاويتي هول من أجل الثقوب والإلكترونات تتناسباً

**طريقياً مع حاصل ضرب الحركيّات في تعرّيفية الحقل المغناطيسي.**

إذن، إلى جانب الحركيّتين الانسياقيّتين يمكن الحديث عن حركيّتي هول اللتان تُعيّنان بالشكل الآتي:

$$\mu_{pH} = A\mu_p ; \quad (30-20)$$

$$\mu_{nH} = A\mu_n . \quad (31-20)$$

وعندما  $A = 1$  ، تتطابق حركيّتنا هول مع حركيّتي الانسياق.

لقد استخدمنا سابقاً علاقات تقرّيبية على أساس أن الزوايا  $\varphi_p$  و  $\varphi_n$  و  $\varphi$  صغيرة، ومن ثم، تسمى

الحقول المغناطيسيّة من أجل تلك الزوايا الصغيرة حقولاً ضعيفاً. ويعُبر عن **معايير الحقل المغناطيسي الضعيف**

بالمترافقين:

$$\varphi_p = \frac{l_p}{r_p} = A\mu_p B = \mu_{pH} B \ll 1, \quad (32-20)$$

$$\varphi_n = \frac{l_n}{r_n} = A\mu_n B = \mu_{nH} B \ll 1, \quad (33-20)$$

حيث  $l_p$  و  $l_n$  طول المسار الحر الوسطي للثقوب والإلكترونات على الترتيب، و  $r_p$  و  $r_n$  نصف قطر قوس الدائريين اللذين تدور وفقهما الثقوب والإلكترونات تحت تأثير قوة لورانس على الترتيب.

- ✓ فمثلاً تتحقق المتراجحة، على وجه الخصوص، من أجل **Ge** عندما  $B = 1 \text{ T}$  و  $\mu_n = 0.3 \frac{\text{m}^2}{\text{V} \cdot \text{s}}$ .
- ✓ وطالما أن حركة الثقوب أقل من حركة الإلكترونات، فإن المتراجحة (32-20) محققة أيضاً.
- ✓ فضلاً عن أن التحريرية المغناطيسية، واحدTesla (1T)، تعد ضعيفة- اصطلاحاً- فقط من وجهة نظر تحقق المتراجحتين.
- ✓ ويساوي معامل هول الواحد ( $A=1$ ) في الحقول الشديدة التي تعيّن بالمتراجحتين المذكورتين المتعاكستين بالإضافة.
- ✓ ومن أجل المعادن وأنصاف النوافل المتحللة يكون  $A=1$  بصرف النظر عن قيمة  $B$ . يُطبق مفعول هول على نطاق واسع في دراسة أنصاف النوافل؛ إذ يمكن بسهولة تحديد كل من  $I$ ،  $B$ ، و  $a$ ، و  $V_x$ ، تجريبياً؛ كما يتم الحصول على  $R_x$  في المجال المشوب من العلاقة (9-20). أضف إلى ذلك، إذا كانت آلية التبعثر معلومة (قيمة  $A$  معلومة)، فليس من الصعب بمكاني تعين التركيز  $n$  والتركيز  $p$ . ثمة صعوبات أساسية يمكن أن تبرز عند قياس  $V_x$ ؛

- **إذ تعيّن هذه الكمية** باستعمال مقياس كمون في حالة التيار المستمر (مقياس فولط DC) حيث يُقاس فرق الكمون بين مجسدين (مسبارين) يمسّان نصف الناقل في نقطتين تقعان على وجهين متقابلين (في **الشكل** 1-20) تقع هاتان النقطتان على الوجهين العلوي والسفلي). ويجب أن تتوزع هذه النقاط على سطح تساوي الكمون للتيار (أي على مستوى عمودي على منحى التيار) **حيث يُستبعد قياس فرق الكمون الأولي الناجم عن التوزّع غير المتنتظر لتماسات هول**.

- ولكن من الصعوبة بمكان، بلوغ عملية القياس هذه، ولا بد من قياس  $V_x$  من أجل قطبتيين للتيار  $I$ ، بحيث يكون لفرق الكمون الأولي إشارتين مختلفتين، ومن ثم يُحسب المتوسط الحسابي من معطيات القياسات المشار إليها لفرق الكمون  $V_x$ .
- **تتوفر عادةً** في مجموعة القياس **مسابر** تتوزع على طول التيار في العينة، بحيث يمكن تحديد الناقلة النوعية لتلك المقاطع لتلك القطاعات من العينة (يمكن استعمال أحد هذه المسابر بمثابة تماس هول).

إن القياسات المركبة  $L$ ,  $R_x$  و  $\sigma$  تسمح بتحديد إشارة حاملات الشحنة، وتركيزها، وحركتيها. فإذا وضعت وحدة القياس الحاوية على العينة في ترموستات، حيث يمكن بسهولة المحافظة على فارق حراري، فيمكننا دراسة التابعية الحرارية لتلك المقادير؛  $R_x$ ,  $\sigma$ , و  $n$ ، و  $\mu$ .

فيزياء أنصاف النواقل - د.حسن سليمان

## 21 الظواهر الغفانية المغناطيسية والحرارية المغناطيسية المختلفة:

## Different Galvanomagnetic and Thermomagnetic Phenomena

ينشأ مفعول هول نتيجة لتأثير قوة لورانس. إذ كما ذكرنا، ينتقل القسم الأكبر من حاملات الشحنة بسرعة قريبة من سرعة انسياق وسطية توافقها قيمة وسطية لقوة لورانس. وهذه الحاملات لا تتحرف عن اتجاه الحقل الخارجي بسبب تعادل قوة لورانس مع قوة حقل هول. ولكن إذا أخذنا بالحسبان المركبة الحرارية لسرعة الإلكترونات، يبدو أنه يمكن للسرعة الكلية أن تتغير في حدود كبيرة. بهذا الشكل، توجد في نصف الناقل حاملات شحنة تختلف سرعاتها عن السرعة الوسطية، مما يعني إمكانية رصد مفاعيل فيزيائية ثمينة من خلال حاملات الشحنة هذه؛ وكقاعدة عامة، ستكون هذه المفاعيل " دقيقة" (معنى أن قيمة الكميات الفيزيائية صغيرة) يتطلب رصدها إجراء تجارب مُتعلقة وظروف إعداد دقة كافية.

تنسب إلى هذه المفاعيل **الظواهر الغفانية المغناطيسية من نوع المقاومة المغناطيسية** أو تغيير المقاومة في حقل مغناطيسي والظواهر المتمثلة في ظهور فارق حراري طولي أو عرضاني أيضاً (**الظواهر المغناطيسية الحرارية**). أضف إلى ذلك، إن وجود حاملات شحنة "باردة" و"حارة" يحدد سلسلة من المفاعيل المغناطيسية الحرارية:

- كنشوء فارق حراري إضافي في نصف ناقل واقع في حقل مغناطيسي خارجي يوجد فيه فارق حراري منذ البداية.
- ونشوء فرق كمون كهربائي في نصف ناقل فيه فارق حراري منذ البداية وواقع في حقل مغناطيسي خارجي.

## دراسة المقاومة المغناطيسية - مفعول المقاومة المغناطيسية:

## Study of the Magnetic Resistance- the Magneto-resistance Effect

لندرس تغير طول المسار الحر لحامل شحنة نتيجة لانحرافه عن اتجاه حقل كهربائي خارجي  $\vec{E}$ ، كما يوضح **الشكل (1-21)**، حيث تُجري حساباً بسيطاً على فرض أن مفعول هول لم يظهر بعد:

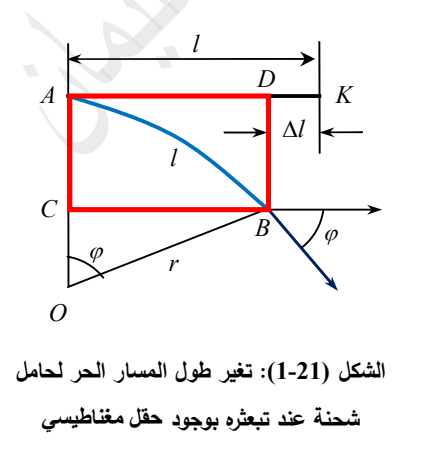
إن الطول الوسطي للمسار الحر،  $K = AK = l$ ، يتناقص في  $\vec{E}$  بمقدار

$$\Delta l = DK = l - AD,$$

فضلاً عن أن:

$$AD = AB \cos \varphi = l \cos \varphi = l \left(1 - \frac{\varphi^2}{2}\right), \quad (1-21)$$

حيث تم نشر التحبيب في متسلسلة وأكفي بالحددين الأول والثاني.



إذن،

$$\Delta l = l - AD = l - l \left( 1 - \frac{\varphi^2}{2} \right) = l \frac{\varphi^2}{2}, \quad (2-21)$$

$$\therefore \frac{\Delta l}{l} = \frac{\varphi^2}{2},$$

ومن أجل نصف ناقل من النوع  $p$  و  $n$  لدينا من العلاقات (20-22) و (23-20):

$$\varphi_n = -A\mu_n B, \quad , \quad \varphi_p = A\mu_p B$$

وبفرض أن عامل هول  $A$  يساوي الواحد، نحصل من العلاقة (2-21) على المعادلين الآتيين:

$$\frac{\Delta l_p}{l_p} = \frac{\varphi_p^2}{2} = \frac{\mu_p^2 B^2}{2} = \frac{\Delta \rho_p}{\rho_p}; \quad (3-21)$$

$$\frac{\Delta l_n}{l_n} = \frac{\varphi_n^2}{2} = \frac{\mu_n^2 B^2}{2} = \frac{\Delta \rho_n}{\rho_n}. \quad (4-21)$$

يمكن القول هنا، أن تغير المقاومة النوعية يتاسب طردياً مع **تغير** الطول الوسطي للمسار الحر، وعندما يفترض أن كل الحاملات الحرة للشحنة تتنقل بسرعة وسطية وتمتلك طول مسارٍ واحدٍ.

إن المقاومة الحجمية النوعية لنصف الناقل تزداد بانخفاض طول المسار الحر لحاملات الشحنة

$(\rho_n = RS/l)$ . وبهذا الشكل، نجد:

**(1)** عند غياب مفعول هول (بدقة أكبر إذا أهملنا وجوده)، **يبدو التغير النسبي للمقاومة النوعية لنصف الناقل متناسباً طردياً مع مربع حاصل ضرب حركية حاملات الشحنة في حقل التحرير المغناطيسي المطبق.**

**(2)** عند وجود حقل هول الكهربائي  $E_x$ ، فإن عملية الانحناء في مجال تأثير الحقل المغناطيسي، ومن ثم تغير طول المسار الحر، سترصدان فقط من أجل **الحاملات الحارة (السريعة)**؛ فضلاً عن أن الانحناء وتغير طول المسار الحر من أجل هذه الحاملات سيكونان أقل منهما بغياب حقل هول  $E_x$ . أما **الحاملات الباردة (البطيئة)** التي سرعاتها أقل بكثير من السرعة الوسطية، فستتحرف إلى الاتجاه المقابل (المعاكس لاتجاه انحراف الحاملات الحارة) تحت تأثير حقل هول، وهذا بدوره سيؤدي إلى زيادة المقاومة أيضاً.

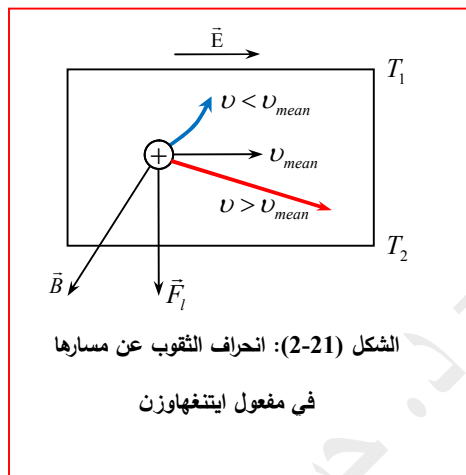
وهكذا نجد، أن المقاومة النوعية لنصف ناقل، واقع في حقل مغناطيسي عرضاني، **تزداد** على حساب **تقلص** طول مسار الحاملات الحارة والباردة للشحنة فقط، ومن الواضح أن التغير النسبي للمقاومة سيكون أقل مما تقتضيه العلاقات (21-3) و (21-4).

## دراسة مفعول ايتنجهاوzen ومفعول نرنست :Studying the Ettingshausen and the Nernst Effects

لندرس تغير طول المسار الحر لحامل شحنة نتيجةً لانحرافه عن اتجاه حقل كهربائي خارجي  $\vec{E}$  ، كما يوضح الشكل (1-21)، حيث تجري حساباً بسيطاً على فرض أن مفعول هول لم يظهر بعد:

إن ظاهرة نشوء فارق حراري عرضاني، عند وضع نصف ناقل يجري فيه تيار كهربائي في حقل مغنتيسي عرضاني تسمى **مفعول ايتنجهاوzen**. يوضح **الشكل (2-21)** عدم انحراف حاملات الشحنة المتحركة بسرعة وسطية تحت تأثير الحقل المغنتيسي، في حين تتحرف الحاملات الحارة للشحنة نحو الوجه السفلي، لأن قوة لورانتس في هذه الحالة أكبر من قوة حقل هول،  $eE_x$  ، والحملات الباردة تتحرف نحو الوجه السفلي على حساب العلاقة العكسيّة بين قوة لورانتس  $F_l$  والقوة  $eE_x$  .

فبعد اصطدام حاملات الشحنة مع الشبكة البلاورية، فإنها تتبادل الطاقة مع الذرات المكونة لها بحيث تجري العملية في جملة "حملات الشحنة- الشبكة البلاورية"، في كل عنصر حجم، لإقرار التوازن الترموديناميكي:



**فالحملات الحارة**، عندما تمنح جزءاً من طاقتها للشبكة البلاورية، **تُسخّن** نصف الناقل، في حين إن **الحملات الباردة**، عندما تتكتسب جزءاً من طاقة الشبكة، **تبُرد** نصف الناقل. ومن ثم يسخن أحد وجهي نصف الناقل ويبرد الوجه المقابل له: ففي **الشكل (2-21)** تكون درجة حرارة الوجه السفلي لنصف الناقل أعلى من درجة حرارة الوجه العلوي. ومن الواضح، أن:

$$\Delta T_{trans} = f(I, B). \quad (5-21)$$

يُعبّر عن مفعول ايتنجهاوzen، على سبيل المثال، بأجزاء

مئوية من الدرجة لكل سنتيمتر، وفي الأساس يمتلك قيمة نظريةً. وتتغير إشارة هذا المفعول عند تغيير اتجاه الحقل المغنتيسي، ولذلك يُعد مفعولاً فردياً أو عرضانياً (على غرار مفعول هول)، أي أن إشارته تتغير عند تغيير اتجاه الحقل المغنتيسي.

يمكن أن ينشأ بالإضافة لفرق الحراري العرضاني، فرق حراري طولاني، وهي ظاهرة تدعى **مفعول نرنست**، بحيث أن:

$$\Delta T_{long} = f(I, B). \quad (6-21)$$

ينشأ مفعول نرنست على أثر تغير تدفقات الحاملات الحارة والساخنة للشحنة الكهربائية في اتجاه التيار الكهربائي. وعلى غرار المقاومة المغنتيسية يُعد مفعول نرنست مفعولاً زوجياً أو طولانياً، أي أن إشارته لا تتغير عند تغيير اتجاه الحقل المغنتيسي. عند تغيير اتجاه التيار تتغير إشارة مفاعيل هول، وايتنجهاوzen، ونرنست.

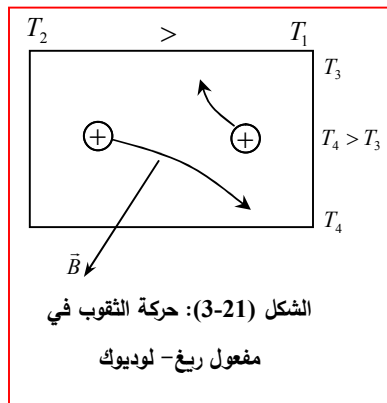
إن انسياق الإلكترونات والثقوب، في الاتجاه الممعطى للتيار، متعاكس، أما انحرافها في الحقل المغنتيسي الناجم عن سرعة الانسياق فيكون متساوياً. وبفضل ذلك، تمتلك حقول هول في أنصاف النوافل الإلكترونية والثقبية إشارات متعاكسة، أما مفعولاً ايتغهاوزن ورنست وكذلك المقاومة المغنتيسية فلا تتعلق بإشارة حاملات الشحنة.

### دراسة الظواهر المغنتيسية الحرارية Studying the Thermomagnetic Phenomena

يكمن مفعول ريف-لوديوك في أنه إذا وجد في نصف ناقل تدرج حراري طولاني وتؤمن حقل مغنتيسي عرضاني يحيط به، فيمكن أن ينشأ تدرج عرضاني لدرجة الحرارة في نصف الناقل هذا، وعندما يكون لدينا

$$\Delta T_{trans} = f(\Delta T_{long}, B). \quad (7-21)$$

يوضح الشكل (3-21) ثقوباً **حارة** تترافق تحت تأثير الحقل المغنتيسي العرضاني نحو الوجه السفلي لنصف الناقل أثناء انتقالها من اليسار نحو اليمين وثقوباً **باردة** تترافق نحو الوجه العلوي لنصف الناقل في أثناء انتقالها من اليمين نحو اليسار.



من الواضح أن الوجه السفلي **سيخن**، في حين إن الوجه العلوي **سيبرد**، مما يعني ظهور تدرج حراري عرضاني في نصف الناقل المدرس.

إن مفعول ماج-ريغ-لوديوك يشابه المفعول الأخير، إلا أنه طولاني (أي إذا وجد في نصف ناقل تدرج عرضاني لدرجة الحرارة وحقل مغنتيسي عرضاني يحيط به، فيمكن أن ينشأ فيه تدرج طولاني لدرجة الحرارة). في هذه الحالة يكون لدينا:

$$\Delta T_{long} = f(\Delta T_{trans}, B). \quad (8-21)$$

توجد مقاييل أخرى غير التي ذكرناها سابقاً، وهي مفعولات ايتغهاوزن-رنست العرضانية والطولانية: المفعول العرضاني يمكن في ظهور فرق كمون عرضاني عند توافر فرق حراري طولاني وحقل مغنتيسي عرضاني، والمفعول الطولاني يتجلّى في تشكّل فرق كمون طولاني على طول التدرج الحراري الطولاني، وليس العرضاني، بوجود حقل مغنتيسي عرضاني أيضاً. ومن ثم:

$$\Delta V_{trans} = f(\Delta T_{long}, B). \quad (9-21)$$

$$\Delta V_{long} = f(\Delta T_{long}, B). \quad (10-21)$$

## 22 معادلات الانتشار ومعادلة إينشتاين :Diffusion Equations- Einstein Equation

يمكن تأمين تدرج لتركيز الحاميات الحرة للشحنة على طول بلورة نصف ناقلة أو عازلة بطرائق مختلفة؛ عن طريق إنماء بلورة وحيدة من مادة نصف ناقلة بحيث يتغير تركيز الشوائب فيها في اتجاه ما وفق قانون معطى. يتغير تركيز الشوائب في أنصاف النواقل والعوازل اللامتجانسة من نقطة لأخرى، لاسيما عند تخوم الاتجاهيات؛ وفي مثل هذه الحالات يُعد التركيز المتوازن لحاميات الشحنة (الإلكترونات والثقوب) تابعاً للإحداثيات. سندرس لاحقاً أنصاف نواقل وعوازل يمكن أن تكون فيها الحاميات الحرة للشحنة أيونات وفجوات أيونية (ثقوب متأينة).

وبشكل مشابه، يمكن خلق تدرج لتركيز الحاميات المتوازنة في نصف ناقل (أو عازل) متجانس على حساب التدرج الحراري.

### معادلات الانتشار Diffusion Equations

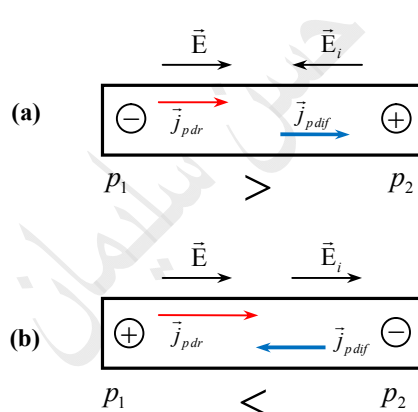
يتالف التيار في الحالة العامة من مجموع تيارات الانسياق والانتشار. وتعين **مركبات الانسياق** لكثافة تيار الناقلة من قانون أوم:

$$\vec{j}_{n dr} = \sigma_n \vec{E} = en\mu_n \vec{E} = -en\mu_n \overrightarrow{\text{grad}} \varphi ; \quad (1-22)$$

$$\vec{j}_{p dr} = \sigma_p \vec{E} = ep\mu_p \vec{E} = -ep\mu_p \overrightarrow{\text{grad}} \varphi , \quad (2-22)$$

حيث  $\varphi$  الكمون الكهرادي، و  $n$  تركيز الإلكترونات و  $p$  تركيز الثقوب التي تُعد في الحالة العامة متوازنة، و  $e$  القيمة المطلقة لشحنة الإلكترون.

**والمركبة الانتشارية** للتيار تتعلق بتدرج لتركيز الحاميات الحرة للشحنة؛ إذ يوضح **الشكل (1-22)** (التيار، توافقان



تيار الثقوب. في **الحالة الأولى**،  $p_1 > p_2$  : ما يعني أن عملية الانتشار ومن ثم تيار الانتشار الموفق تتجهان باتجاه تيار الانسياق نفسه. وفي **الحالة الثانية**،  $p_2 > p_1$  : ما يعني أن عملية الانتشار تجري بشكل معاكس لما يجري في الحالة الأولى، ويتجه تيار الانتشار في اتجاه معاكس لاتجاه تيار الانسياق.

يمكن كتابة علاقتي **كثافي الانتشار لتدفق الإلكترونات والثقوب على الترتيب** بالشكل:

$$\Phi_{n dif} = -D_n \overrightarrow{\text{grad}} n ; \quad (3-22)$$

$$\Phi_{p dif} = -D_p \overrightarrow{\text{grad}} p . \quad (4-22)$$

حيث  $D_n$  معامل انتشار الإلكترونات و  $D_p$  معامل انتشار الثقوب.

تعني الإشارة "ـ" أن الانتقال يجري في اتجاه تناقص التركيز.

توافق كثافتا الانتشار لتدفقات الإلكترونات والثقوب كثافي الانتشار لتيارات الإلكترونات والثقوب وفق الشكل الآتي:

$$\vec{j}_{n \text{ dif}} = -e\Phi_{n \text{ dif}} = eD_n \overrightarrow{\text{grad}} n; \quad (5-22)$$

$$\vec{j}_{p \text{ dif}} = +e\Phi_{p \text{ dif}} = -eD_p \overrightarrow{\text{grad}} p; \quad (6-22)$$

أخذنا بالحسبان إشارة شحنة الإلكترون، حيث  $0 > e$  ، في العلاقتين الأخيرتين (5-22) و (6-22).

يُشكّل تيار الانتشار فصلاً (تباعداً) فراغياً بين الشحنات، أي تنشأ شحنات حجمية بفعل الانتشار، وستختلف تراكيز حاملات الشحنة هنا عن تراكيزها المتوازنة  $n_0$  و  $p_0$  . وعلى وجه الخصوص، سينشح الجزء الأيسر من العيّنة النصف ناقلة في **الشكل** (1a-22) **سلبياً** والجزء الأيمن منها **إيجابياً**، أمّا في **الشكل** (1b-22)، فنلاحظ حالة معاكسة للحالة السابقة وقطبية مختلفة. وبناءً عليه، تنشأ حقول كهربائية داخلية،  $\vec{E}_i$  ، تُكوّن إلى جانب الحقل الخارجي،  $\vec{E}$  ، تيار انسياقي. إذن:

$$\vec{E}_i = \vec{E} + \vec{E}_i. \quad (7-22)$$

إذا كان الحقل الخارجي يساوي الصفر ونصف الناقل معزول عن الأجسام الأخرى، فإن تيار الانتشار يتوازن مع تيار الانسياق الذي شكّله الحقل الداخلي  $\vec{E}_i$  ، ومن ثم سيساوي التيار الكلي في حالة التوازن термодинاميكى الصفر. ويفهم التوازن термодинاميكى هنا بالمعنى الآتى: إن توزع درجة الحرارة في العيّنة يبقى محفوظاً مع مرور الزمن من دون تغيير. لقد صادفتنا حالة مفصلة عند دراسة القوة المحرّكة الكهرا حرارية T-emf في **الفقرة 19**.

وبناءً على ما تقدم يمكن كتابة معادلات الانتشار بشكل عام بالمعادلتين الآتىتين:

$$\vec{j}_n = en\mu_n \vec{E} + eD_n \overrightarrow{\text{grad}} n = -en\mu_n \overrightarrow{\text{grad}} \varphi + eD_n \overrightarrow{\text{grad}} n; \quad (8-22)$$

$$\vec{j}_p = ep\mu_p \vec{E} - eD_p \overrightarrow{\text{grad}} p = -ep\mu_p \overrightarrow{\text{grad}} \varphi - eD_p \overrightarrow{\text{grad}} p. \quad (9-22)$$

إذا أخذنا في الحسبان مساقط التيارات في اتجاه واحد فقط، يمكننا استبدال التدرجات بالمشتقات الجزئية الموقفة. في معظم الحالات تدرس التيارات في اتجاه معين، لأن التدرجات غالباً ما تختلف عن الصفر من أجل اتجاه واحد؛ فمثلاً من أجل الاتجاه  $x$  يكون لدينا:

$$j_{nx} = en\mu_n E_x + eD_n \frac{\partial n}{\partial x} = -en\mu_n \frac{\partial \varphi}{\partial x} + eD_n \frac{\partial n}{\partial x}; \quad (10-22)$$

$$j_{px} = ep\mu_p E_x - eD_p \frac{\partial p}{\partial x} = -ep\mu_p \frac{\partial \varphi}{\partial x} - eD_p \frac{\partial p}{\partial x}. \quad (11-22)$$

نغض النظر عادةً عن الأدلة "x" على اعتبار أننا ندرك المسقط الذي اختربناه، بهدف التبسيط؛ وعندما

تكون الدراسة الراهنة من أجل حالة أحادية بعد، حيث تعتبر فيها:

$$\begin{aligned} j_{ny} &= j_{nz} = j_{py} = j_{pz} = 0 ; \\ \frac{\partial \varphi}{\partial y} &= \frac{\partial \varphi}{\partial z} = 0 ; \\ \frac{\partial n}{\partial y} &= \frac{\partial n}{\partial z} = \frac{\partial p}{\partial y} = \frac{\partial p}{\partial z} = 0 . \end{aligned} \quad (12-22)$$

وعندما تكتب معادلات الانتشار بالشكل:

$$j_n = en\mu_n E + eD_n \frac{\partial n}{\partial x} ; \quad (13-22)$$

$$j_p = ep\mu_p E - eD_p \frac{\partial p}{\partial x} . \quad (14-22)$$

والكثافة الكلية للتيار بالشكل الآتي:

$$j = j_n + j_p = e(n\mu_n + p\mu_p)E + e\left(D_n \frac{\partial n}{\partial x} - D_p \frac{\partial p}{\partial x}\right) . \quad (15-22)$$

تعين اتجاهات التيارات عادةً بـ  $j_n$  لاتجاهات تدرجات الكمون  $\varphi$  والتراكيز. **ومن ثم** تؤخذ بالحساب إشارات التيارات عند كتابة معادلة الانتشار من أجل الحالة المعطاة. إن معادلات الانتشار تعد من أهم معادلات فيزياء أنصاف النوافل والعوازل وستستخدم على نطاق واسع في مختلف الحسابات.

### معادلة أينشتاين Einstein Equation

تمتاز علاقة (معادلة) أينشتاين بسلوكها العام، إذ أنها تطبق على الحالات الحرجة للشحنة من أي نوع، سواء كانت إلكترونات، أم ثقوب، أم أيونات، أم فجوات مؤينة. وهي محققة من أجل الحالات المتوازنة وغير المتوازنة في أنصاف النوافل والعوازل.

**ترتبط معادلة أينشتاين** معامل انتشار حاملات الشحنة بحركتها في شروط التوازن الترموديناميكي، غير أنها، وكما أشرنا أعلاه، محققة من أجل الحالات اللامتوازنة للشحنة أيضاً. والسبب هو أن هذه **الحالات اللامتوازنة تصبح** في حالة توازن حراري مع الشبكة البلورية للعينة المدروسة خلال فترة زمنية قصيرة جداً. وعليه، فإن توزيع الحالات اللامتوازنة للشحنة على الطاقات في أنصاف النوافل **اللامتحلة** لا تختلف عن توزيع الحالات المتوازنة للشحنة.

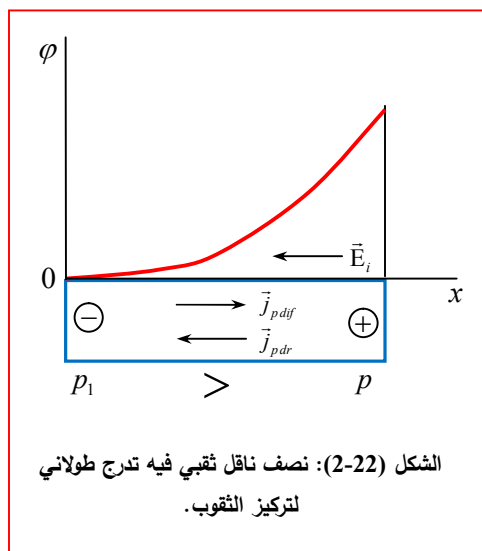
لوجود معادلة أينشتاين من أجل نصف ناقل من النوع-p يتميز بدرج طولي لتركيز حاملات الشحنة، كما في **الشكل** (2-22). إذا كان تركيز التقويب من جهة اليسار،  $p_1$ ، أكبر من تركيزها من جهة اليمين،  $p_2$ ، فإن تيار الانتشار سيتخذ اتجاهًا يبدأ من يسار العينة وينتهي في يمينها. سينقل تيار الانتشار التقويب من اليسار إلى اليمين ويستمر بذلك ما لم ينشأ حقل داخلي،  $E_i$ ، بتلك القيمة التي من أجلها يتساوى تيار الانسياق المقابل (الناتج عن الحقل ذاته) مع تيار الانتشار. وهذا ما سيكون عليه شرط التوازن الديناميكي الذي جرى الحديث عنه أكثر من مرة. وعليه، فإن:

$$j_p = -ep\mu_p \frac{\partial \varphi}{\partial x} - eD_p \frac{\partial p}{\partial x} = 0, \quad (16-22)$$

حيث  $\varphi$  الكمون الكهراكتي الذي تشکل بالشحنات الحجمية (الفراغية).

لأخذ مبدأ حساب الكمون الكهراكتي  $\varphi$ ، كما في الشكل (22-2)، بحيث تعتبر قيمته في النهاية اليسرى من العينة مساويةً للصفر. يجب على التقوب المشاركة في تيار الانتشار أن تتسلق (تصعد) حاجز كمون،  $e\varphi$ .

لدينا من المعادلة (16-22)



$$\frac{\partial p}{p} = -\frac{\mu_p}{D_p} \partial \varphi; \quad (17-22)$$

وبتكامل طرفي المعادلة الأخيرة نحصل على الحل الآتي بالنسبة لتركيز التقوب  $p$ :

$$\begin{aligned} \int_{p_1}^p \frac{dp}{p} &= -\frac{\mu_p}{D_p} \int_{p_1}^p d\varphi; \\ \ln p - \ln p_1 &= -\frac{\mu_p}{D_p} (\varphi_p - \varphi_{p_1}) \end{aligned} \quad (18-22)$$

$$p = p_1 e^{-\frac{\mu_p}{D_p} \varphi}; \quad \varphi_p = \varphi.$$

ومن جهة أخرى، يمكننا من خلال تطبيق قانون بولتزمان، من أجل شحنة تتسلق حاجز كمون ارتفاعه  $e\varphi$  نتيجة حرکتها الحرارية، كتابة المعادلة الآتية:

$$p = p_1 e^{-\frac{e\varphi}{k_B T}}. \quad (19-22)$$

ويُعد هذا التركيز متوازنًا ترموديناميكياً أيضًا، طالما أن قانون بولتزمان يوافق حالة توازن. ولكن، بما أنه لدينا شحنات حجمية، فإننا رمنا لهذا التركيز بالرمز  $p_0$  بدلاً من  $p$ .

ونحصل من مقارنة المعادلتين (18-22) و (19-22) مع بعضهما البعض على معادلة اينشتاين من أجل التقوب:

$$\frac{\mu_p}{D_p} = \frac{e}{k_B T}. \quad (20-22)$$

وبطريقة مشابهة لما قمنا به أعلاه نحصل على علاقة اينشتاين من أجل الإلكترونات:

$$\frac{\mu_n}{D_n} = \frac{e}{k_B T}. \quad (21-22)$$

إن العلاقات (20-22) و (21-22) محققتان من أجل الأيونات أيضًا.